

شبیه‌سازی سه بعدی جریان‌های خلیج فارس در آب‌های عمیق و ساحلی

شکوفه رزاقی^۱، سید عباس حق‌شناس^۲، سرمد قادر^۳، دانیال یازجی^۴، ادریس دلخوش^۱ و عارف فرهنگ مهر^۵

^۱ دانش‌آموخته کارشناسی ارشد، گروه فیزیک فضا، موسسه ژئوفیزیک، دانشگاه تهران، تهران، ایران

^۲ استادیار، گروه فیزیک فضا، موسسه ژئوفیزیک، دانشگاه تهران، تهران، ایران

^۳ دانشیار، گروه فیزیک فضا، موسسه ژئوفیزیک، دانشگاه تهران، تهران، ایران

^۴ محقق پسادکتری، گروه فیزیک فضا، موسسه ژئوفیزیک، دانشگاه تهران، تهران، ایران

^۵ دانش‌آموخته کارشناسی ارشد، شرکت دانش بنیان ژرف دریا پژوهش پارس، تهران، ایران

(تاریخ دریافت: ۱۳۹۸/۰۳/۱۳، تاریخ پذیرش: ۱۳۹۸/۰۸/۲۵)

چکیده

در این تحقیق تلاش می‌شود یک سامانه پیش‌بینی جریان توسعه بیابد و راهاندازی شود. در این سامانه با درنظر گرفتن و اداشت‌های اصلی شامل جزر و مد و میدان باد سطحی، تخمین مناسبی از جریان‌های خلیج فارس به دست می‌آید و عملکرد سامانه در آب‌های کم‌عمق و عمیق توانمن بررسی می‌شود. در این راستا، نخست با به کارگیری مدل FVCOM، سامانه شبیه‌سازی راهاندازی شده است. سپس مدل برپا شده با اعمال تراز جزر و مدی و میدان باد سطحی در بازه‌ای که داده میدانی موجود بوده، برای تمام خلیج فارس اجرا شده است. در ادامه، با مقایسه تراز سطح آب و اندازه سرعت جریان در چند ایستگاه، مدل برای پارامترهای ضریب زبری بستر، اندازه شبکه، تعداد ترازهای سیگما در راستای قائم، و استنجی و صحبت‌ستنجی شده و اثر اعمال میدان باد سطحی نیز بررسی شده است. سرانجام، بهترین شرایط برای اجرای مدل انتخاب و نتایج ایستگاه‌های مختلف بررسی شده است.

مقایسه نتایج شبیه‌سازی جریان با داده‌های مشاهداتی، میزان موفقیت مدل را در شبیه‌سازی جریان نشان می‌دهد. داده‌های اندازه‌گیری و نتایج شبیه‌سازی سه بعدی جریان با مدل FVCOM در خلیج فارس برای اندازه سرعت جریان و تراز سطح آب، همخوانی خوبی با هم دارند. با انجام و استنجی، مناسب‌ترین اندازه شبکه برای مدل خلیج فارس تخمین زده شده و مقادیر مناسب ضریب زبری بستر برای آب کم‌عمق و عمیق به دست آمده است. نتایج این شبیه‌سازی نشان می‌دهد مدل حاضر در هر دو بخش آب کم‌عمق و عمیق از دقت مناسبی برخوردار است.

واژه‌های کلیدی: خلیج فارس، جریان و تراز آب، شبیه‌سازی سه بعدی هیدرودینامیک، مدل FVCOM، جریان‌های آب عمیق

سه بعدی هيدروديناميک است، برای مطالعه جريان و ويژگی های توده آب خليج فارس به کار گرفتند. نتایج آن پژوهش، همخوانی خوبی با شواهد تجربی داشت. عظام و همكاران (۲۰۱۰) از مدل POM و داده های مشاهداتي سال ۱۹۹۲ برای مطالعه ساختار جريان خليج فارس و بررسی اثر های گسترش اين جريانها بر مشخصات فيزيكى درياني عمان استفاده کردند. يائو و جونز (۲۰۱۰) جريان در خليج فارس را با استفاده از مدل HYCOM تحت تأثير ميدان های مختلف فشار جوی مطالعه کردند. ميدان های جريان سطحي به دست آمده از شبیه سازی، به طور کلی با ويژگی های مشاهده شده تطبیق داشته است. عوامل محرك جريان سطحي در خليج فارس، اصولاً فشار باد سطحي و جريان ورودي با شوري کم از درياني عمان (IOSW) هستند. الوسيري و همكاران (۲۰۱۱) از مدل عددی (ELCOM) سه بعدی خور، درياچه و اقيانوس ساحلي استفاده کردند که مدل را كشتی تحقيقاتي ماونت ميچل (R/V Mt. Mitchell) در سال ۱۹۹۲ اعتبارسنجي کرد. آنها مدل صحت سنجي شده را برای محاسبه تغيرات جغرافياي ضريب پخش افقی در سراسر خليج فارس به کاربردند. نتایج اين تحقيق نشان داد که پخش، اغلب با واداشت های جزرومدي به دست می آيد. در طول ساحل عربستان، باد به عنوان يك منع انرژي مهم اضافه برای پخش ارزياي شد. ويک و همكاران (۲۰۱۵) سازو كارهای در گير در پخش آب خليج فارس در خليج عمان و اندرکنش اين دو پنهان آبي را با استفاده از شبیه سازی عددی با نرم افزار ROMS بررسی کردند. اين شبیه سازی گواه بر نقش مهم ادیهای ميان مقیاس در پخش آب خليج فارس در خليج عمان در يك بازه زمانی فصلی است. معماري و سيادت موسوي (۲۰۱۸) شيوه پخش پلوم شوري و حرارت را در تنگه خوران در خليج فارس با استفاده از مدل FVCOM بررسی کردند. با مقایسه پخش شوري و حرارت ناشی از فعالیت های بشری

۱ مقدمه

خليج فارس دريای نيمه بسته کم عمق است. عمق ميانگين اين پنهان آبي ۳۶ متر است و پس از خليج مکزيك و خليج هادسون، سومين خليج بزرگ جهان به شمار می آيد. خليج فارس از شرق از طريق تنگه هرمز و دريای عمان به دريای عرب و اقيانوس هند راه دارد و از غرب به دلتاي رودخانه ارون درود، که حاصل پيوند دو رودخانه دجله و فرات و پيوستن رود كارون به آن است، ختم می شود. بهسب وجود منابع سرشار نفت و گاز در خليج فارس و سواحل آن، اين آبراهه يك منطقه مهم دريائي در جهان به شمار می آيد که بخش مهمی از فعالیت های توسعه دريائي را به خود اختصاص می دهد. جريان های عمومی در خليج فارس اغلب از سه منشأ جزرومدي، باد و تغيرات چگالي نشأت می گيرند که اثر نسبی جريان های ناشی از جزرومدي، باد و چگالي را به صورت تقربي می توان به ترتيب ۱۰۰ و ۱ در نظر گرفت (رينولدز، ۱۹۹۳).

مطالعات متعددی درباره جريان های دريائي خليج فارس انجام شده است. يكی از مهم ترین اين مطالعات، تحقيق رينولدز (۱۹۹۳) است که در آن از فوريه تا ژوئن سال ۱۹۹۲ از داده های کشتی تحقيقاتي NOAA در خليج فارس، تنگه هرمز و دريای عمان استفاده و با تحليل آن اطلاعات، تغيرات پارامتر های فيزيكی اين پنهان آبي بررسی شده است. نتایج اين تحقيق از اواسط زمستان تا اوائل تابستان سال ۱۹۹۲ را دربرمی گيرد. در اين بازه مشاهده شده است که گرمای خورشيد ترموكلاين شدیدی ايجاد می کند و لایه آميخته سطحي را از لایه داخلی آب جدا می کند. همچنین، در اين بازه جريان ورودي به ساحل شمالی که در زمستان به وسیله بادهای شمال تضعيف می شود، در تابستان تقويت می شود و تا شمال غرب خليج فارس گسترش می يابد که نشان دهنده تطابق مناسب اندازه گيری ها با شبیه سازی ها است. کمپ و صدری نسب (۲۰۰۶) مدل COHERENS را که يك مدل

(۲۰۰۶) از نرم‌افزار FVCOM برای شبیه‌سازی نواحی ساحلی و عمیق حتی تا عمق ۸۰۰۰ متری در محدوده خلیج مکزیک، دریای کارائیب و بخش شمالی اقیانوس اطلس استفاده کرده‌اند و نتایج خوبی نیز به دست آورده‌اند.

۲ روش‌شناسی مطالعه حاضر

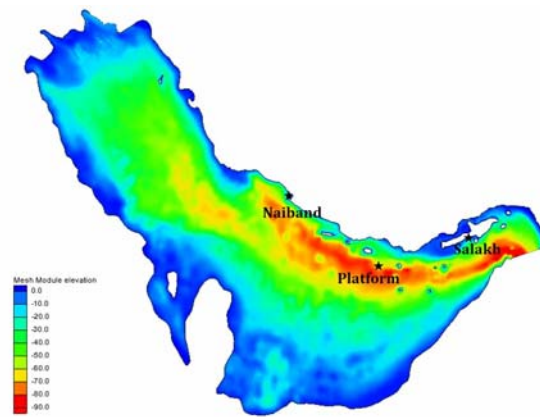
در مطالعه حاضر، شبیه‌سازی سه‌بعدی جریان‌های خلیج فارس به کمک مدل سه‌بعدی FVCOM روی یک شبکه بی‌ساختار مدنظر است؛ از این‌رو، نخست با اجرای مدل در شرایط متفاوت در محدوده خلیج فارس، مدل برای پارامترهای اندازه شبکه‌بندی، ضریب زبری بستر و تعداد ترازهای قائم سیگما و سنجه شده است. در گام بعد، بهینه‌ترین شرایط برای اجرای مدل در این پهنه آبی تعیین و سپس مدل در این شرایط اجرا و نتایج شبیه‌سازی برای تراز سطح آب و سرعت جریان در ایستگاه‌های موجود، اعم از کم عمق و عمیق، صحبت‌ستجی شده است.

۱-۲ معرفی منطقه مورد مطالعه و داده‌های موجود اندازه‌گیری

منطقه مورد مطالعه، کل پهنه آبی خلیج فارس است و مرز مدل، در شرق تنگه هرمز و حدفاصل سیریک در ایران تا مصندم در عمان انتخاب شده است. انتخاب مرز، پیرو مطالعه انجام شده است. جهت بررسی عملکرد مدل در شبیه‌سازی سه‌بعدی جریان با مدل FVCOM در خلیج فارس، لازم است تا نتایج شبیه‌سازی برای برخی از ایستگاه‌های اندازه‌گیری در این پهنه با داده‌های اندازه‌گیری موجود مقایسه شوند. شکل ۱ عمق‌سنجه منطقه مورد مطالعه را به همراه مکان ایستگاه‌های اندازه‌گیری مدنظر نمایش می‌دهد.

در محدوده تعریف شده طبق استاندارد زیست‌محیطی ایران و مقادیر مجاز آن، روشن شد که مقادیر شوری طبق تخلیه فعلی، قادر به برآورده کردن استاندارد است، اما مقدار حرارت، بسیار فراتر از محدوده تعیین شده در استاندارد است؛ بنابراین، با تعریف چند ستاریو، مکان مناسب برای تخلیه پساب با توجه به معیار زیست‌محیطی ارزیابی شده است. از جمله دیگر فعالیتهای مهم در خلیج فارس می‌توان به تحقیق سویفت و بور (۲۰۰۳)، مرتضوی و همکاران (۲۰۱۲)، حاج رسولیها و همکاران (۱۳۹۵) و عزیزپور و همکاران (۲۰۱۴) اشاره کرد.

همه این مطالعات و شبیه‌سازی‌ها در محدوده آب‌های کم عمق صورت پذیرفته است و شبیه‌سازی عمومی جریان در آب‌های عمیق خلیج فارس نادر است (حق‌شناس و همکاران، ۲۰۱۶). یکی از تنگناهای پیش رو در مطالعات جامع دریاره بخش‌های عمیق‌تر این پهنه آبی آن است که اندازه‌گیری‌های آب عمیق بسیار نادر است و بیشتر اندازه‌گیری‌ها تا عمق‌های مرسوم برای نصب دستگاه‌های کف‌خواب (ADCP)، یعنی حدود ۲۵ متر انجام می‌شود. علاوه‌براین، اندازه‌گیری‌های موجود اغلب در نزدیک‌ترین فواصل به نوار ساحلی انجام شده است. در تحقیق حاضر تلاش شده است تا یک سامانه شبیه‌سازی جریان به‌ نحوی توسعه یابد که با درنظر گرفتن و اداشت‌های جزو مرد و باد، تخمین دقیقی از جریان‌های خلیج فارس به دست بیاید و عملکرد سامانه شبیه‌سازی در آب‌های عمیق‌تر نیز ارزیابی شود. این مهم با دسترسی به یک مجموعه از داده‌های نادر اندازه‌گیری آب عمیق یعنی تا اعماق بیش از ۸۰ متر و در نواحی میانی خلیج فارس حاصل آمده است. برای این منظور، در تحقیق حاضر از نرم‌افزار FVCOM استفاده شده است که در نواحی عمیق و کم عمق کاربرد دارد. پیش از این، هیگن و همکاران



شکل ۱. منطقه مورد مطالعه، شرایط عمومی عمق‌سنجی و مکان ایستگاه‌های اندازه‌گیری

فراهم می‌آورد و برخلاف مدل‌های اجزاء محدود و تفاضل محدود که از شکل دیفرانسیلی حاکم استفاده می‌کنند، از شکل انتگرالی معادلات استفاده می‌کند. استفاده از روش حجم محدود سبب می‌شود پایستگی جرم در مدل به صورت دقیق رعایت شود که می‌تواند مزیتی بر مدل‌های معمول تفاضل محدود تلقی شود. معادلات حاکم در مدل، از معادلات پایستگی تکانه، پیوستگی، دما، شوری و معادله حالت تشکیل شده است. با استفاده از تقریب هیدرواستاتیک و بوسینیسک (چن و همکاران، ۲۰۱۳)، معادلات ساختاری به شکل زیر هستند:

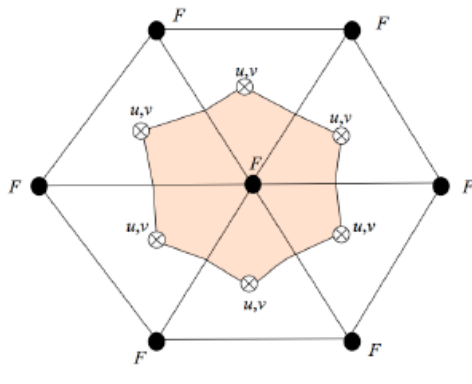
در ناحیه عمیق برای اندازه‌گیری سرعت جریان در ایستگاه سکو (P1) از دستگاه RCM9 (با برداشت مقاطع ساعتی از روی شناور) و در ناحیه کم عمق جهت اندازه‌گیری سرعت جریان در ایستگاه سلخ از AWAC و برای اندازه‌گیری تراز سطح آب از دستگاه RBR استفاده شده است. کنترل کیفی داده‌ها با کالیبراسیون دستگاه اندازه‌گیری طی عملیات میدانی انجام شده است.

۲-۲ معرفی مدل FVCOM

مدل FVCOM یک مدل متن باز سه‌بعدی حجم محدود است که امکان استفاده از شبکه‌های بدون ساختار را

جدول ۱. مشخصات ایستگاه‌های اندازه‌گیری منتخب و زمان اندازه‌گیری‌های میدانی موجود. داده‌های دو ردیف نخست جدول، از مرجع شرکت مهندسین مشاور آب و محیط خاورمیانه (۱۳۹۲) و داده ردیف سوم از مرجع شرکت برد و شرکت جهاد تحقیقات آب و ابروزی (۲۰۰۹) اخذ شده است.

نام ایستگاه	موقعیت		(m) عمق مربوط به CD	UTM	نوع اندازه‌گیری	بازه زمانی اندازه‌گیری		تعداد روزها
	X	Y				شروع	پایان	
P1	۲۱۴۳۵۰	۲۹۱۰۷۶۰	-۷۰	۴۰	مقطع سرعت جریان	۱۳/۰۵/۲۶ ۱۱:۰۰	۱۳/۰۵/۲۷ ۰۰:۳۵	۶
						۱۳/۰۵/۲۷ ۲۰:۰۰	۱۳/۰۵/۲۸ ۰۹:۴۰	
						۱۳/۰۶/۰۱ ۱۳:۰۰	۱۳/۰۶/۰۲ ۰۲:۲۴	
سلخ	۳۷۴۷۷۰	۲۰۴۸۴۹۰	-۲۵	۴۰	داده‌های مقطع سرعت جریان و سطح آب	۱۳/۰۵/۳۰ ۱۲:۰۰	۱۳/۰۶/۰۵ ۱۱:۰۰	۶
ناییند	۶۳۳۱۱۷	۳۰۶۰۲۸۰	-۴	۳۹	داده‌های سطح آب	۰۹/۰۷/۱۲ ۱۱:۰۰	۱۳/۰۸/۰۹ ۱۰:۴۰	۳۲



Node \bullet : $H, \zeta, \omega, D, s, \theta, q^2, q^2l, A_m, K_h$

Centroid \otimes : u, v

شکل ۲. شبکه‌بندی مثلثی و مکان محاسبه متغیرهای مدل FVCOM (برگرفته از چن و همکاران، ۲۰۱۳).

مدل FVCOM با استفاده از شبکه‌بندی مثلثی می‌تواند برای خطوط ساحلی نامنظم و تغیرات عمق با شیب زیاد یک مزیت تلقی شود. در راستای قائم، از دستگاه مختصات سیگما و در راستای افقی از شبکه‌بندی مثلثی استفاده شده است. هر عدد شبکه مثلثی از یک جزء، سه نقطه و سه جانب تشکیل شده است. حل معادلات حاکم، اغلب با محاسبه مقدار شار ورودی به حجم جزء صورت می‌گیرد. از مزایای روش حجم محدود می‌توان به شبکه‌بندی به روش مثلثی و همچنین سامانه گستته‌سازی بپردازد. این روش توانایی حل معادلات اشاره کرد. به علاوه، این روش تا حدود زیادی در برآورده کردن پایستاری جرم، تکانه، شوری و دما در مناطق ساحلی به خوبی عمل می‌کند. از دیگر مزیت‌های مدل FVCOM متن باز بودن است و می‌توان برای هر پهنه آبی که معادله چگالی متفاوتی داشته باشد، معادله موردنی آن پهنه را براساس دما، شوری و فشار به مدل اعمال کرد. همچنین این مدل برای مناطقی که تغییرات دما تأثیر جدی دارد، نتایج مناسب‌تری دارد؛ چون شرط مرزی دما را مناسب‌تر شبیه‌سازی می‌کند (چن و همکاران، ۲۰۱۳).

$$\frac{\partial u}{\partial t} + u \frac{\partial u}{\partial x} + v \frac{\partial u}{\partial y} + w \frac{\partial u}{\partial z} - fv = \quad (1)$$

$$-\frac{1}{\rho_0} \frac{\partial p}{\partial x} + \frac{\partial}{\partial z} \left(K_m \frac{\partial u}{\partial z} \right) + F_u, \quad (2)$$

$$\frac{\partial v}{\partial t} + u \frac{\partial v}{\partial x} + v \frac{\partial v}{\partial y} + w \frac{\partial v}{\partial z} - fu = \quad (3)$$

$$-\frac{1}{\rho_0} \frac{\partial p}{\partial y} + \frac{\partial}{\partial z} \left(K_m \frac{\partial v}{\partial z} \right) + F_v, \quad (4)$$

$$\frac{\partial P}{\partial z} = -\rho g, \quad (5)$$

$$\frac{\partial u}{\partial x} + \frac{\partial v}{\partial y} + \frac{\partial w}{\partial z} = 0, \quad (6)$$

$$\frac{\partial T}{\partial t} + u \frac{\partial T}{\partial x} + v \frac{\partial T}{\partial y} + w \frac{\partial T}{\partial z} = \quad (7)$$

$$\frac{\partial}{\partial z} \left(K_h \frac{\partial T}{\partial z} \right) + F_T \quad (8)$$

$$\frac{\partial S}{\partial t} + u \frac{\partial S}{\partial x} + v \frac{\partial S}{\partial y} + w \frac{\partial S}{\partial z} = \quad (9)$$

$$\frac{\partial S}{\partial z} + u \frac{\partial S}{\partial x} + v \frac{\partial S}{\partial y} + w \frac{\partial S}{\partial z} = \quad (10)$$

$$\rho = \rho(T, S), \quad (11)$$

که x, y و z به ترتیب مؤلفه‌های شرقی- غربی، شمالی- جنوبی و ارتفاعی در دستگاه مختصات دکارتی و u, v و w به ترتیب مؤلفه‌های سرعت در جهت‌های x, y و z هستند. پارامترهای T, S, φ, f, P و g به ترتیب دمای آب، شوری آب، چگالی آب، فشار، ضربیت کوریولیس و شتاب گرانش زمین هستند. K_s, K_t, K_v, K_u, K_m و F_s, F_t, F_v, F_u به ترتیب ضربیت و شکسانی در راستای قائم، ضربیت پخش گرما در راستای قائم و جمله‌های پخش افقی تکانه، گرما و شوری هستند. این ضربیت به سطح انتشارات و استهاند و هیچ فرمولی وجود ندارد که همیشه و در همه شرایط جواب بدهد. برای محاسبه ضربیت و شکسانی، پخش افقی و پخش در راستای قائم می‌توان از رابطه اسماگرینسکی (Smagorinsky) و بسط ملور و یاماذا (Mellor and Yamada 5/2) در مدل استفاده کرد. الگوریتم‌های پیشرفته خشک و ترشدن نیز در مدل اعمال شده است و اجازه می‌دهد مدل برای نقاط ساحلی که در معرض چنین فرایندی هستند، دچار مشکل نشود و موفق عمل کند (چن و همکاران، ۲۰۱۳).

است که شرح داده‌های مورد استفاده در بخش ۱-۲ ارائه شد.

۳ برپايي مدل و واسنجي

در اين پژوهش، از نسخه 3.2.1 مدل FVCOM جهت شبیه‌سازی سبعدی جريان‌های خلیج فارس استفاده شده است و واداشت‌های جزرومدی و میدان باد سطحی به مدل اعمال شده‌اند. شبیه‌سازی برای يك بازه يك‌ماهونيم در سال ۲۰۱۳ در دو ايستگاه سلخ و P1 واسنجی شده است. گام زمانی اجرا، ۵ ثانية انتخاب و با مقایسه تراز سطح آب و سرعت جريان در ايستگاه سلخ با داده‌های اندازه‌گیری و مقایسه مقطع اندازه سرعت در ايستگاه P1 با داده‌های اندازه‌گیری، واسنجی انجام شده است. واسنجی مدل برای پaramترهای تفکيک مکاني شبکه محاسباتي، تعداد ترازهای قائم سیگما و ضریب زبری بستر انجام شده و مقادیر بهینه به دست آمده است. علاوه‌براین، اثر اعمال واداشت میدان باد سطحی بر نتایج شبیه‌سازی نیز بررسی شده است.

۴-۳ تفکيک مکاني شبکه محاسباتي

برای بررسی میزان حساسیت مدل به تفکيک مکاني شبکه‌بندی محاسباتي، از سه شبکه در پیکربندی مدل استفاده شده است. با اختصار، ویژگی‌های هر کدام از شبکه‌ها در جدول ۲ آورده شده است و نمایی از سه شبکه منتخب در شکل ۳ مشاهده می‌شود. نحوه تنظیم ابعاد شبکه و دسته‌بندی ابعاد مختلف با پیروی از روش ارائه شده هيگن و همكاران (۲۰۰۶) انجام شده است. در اين روش برای ناحيه عميق، اندازه مينا انتخاب شده است و نواحي کم عمق و ساحلي طي دو مرحله ريز شده‌اند.

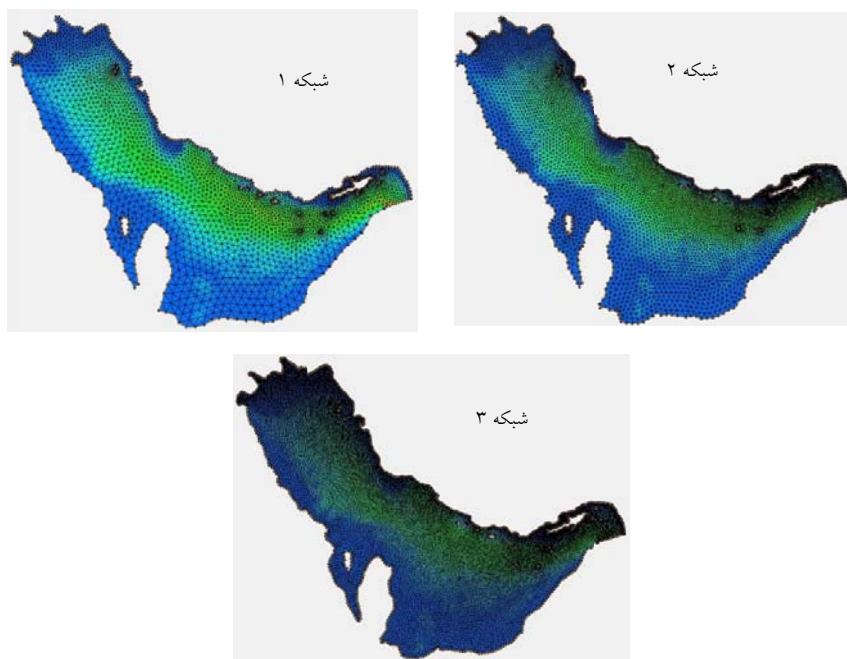
۳-۲ اطلاعات مورد استفاده جهت برپايي مدل

جمع آوري اطلاعات پايه جهت برپايي مدل هيدروديناميک خلیج فارس گام نخست در شبیه‌سازی سه بعدی جريان‌های اين پنهان مهم آبي است. در اين تحقيق به اطلاعات عمق‌سنじ، جزرومد و باد برای اجرای مدل احتياج است. برای تهيه شبکه‌بندی مدل، داده‌های ورودی مورد نياز شامل موقعيت مرزاها و عمق‌سنじ محدوده مدل است. داده‌های عمق‌سنじ عمومي در محدوده خلیج فارس از داده‌های سازمان نقشه‌برداري كشور (NCC) تهيه شده است و در مواردي که داده‌های اندازه‌گيری عمق‌سنじ از مرجع نخست (NCC) موجود نبود، از داده‌های ETOPO2v2 استفاده شده است. برای تعين مرزاها مدل، از مرجع ESRI استفاده شده و گاهی به كمک برنامه Google Earth تصحيح شده است. روی مرز باز که در شرق تنگه هرمز و حدفاصل سيریك تا مصندم قرار دارد، جزرومد بهصورت تاریخچه زمانی و شرط مرزی درنظر گرفته شده است. برای داده‌های مرز باز مدل از مدل جهانی جزرومدی OTPS استفاده شده است. صحبت نتایج OTPS در اين محدوده را شركت برد و شركت جهاد تحقیقات آب و انرژی (۲۰۰۹) ارزیابی کرده است. همچنین، اطلاعات میدان باد شامل سرعت و جهت آن برای دوره اجرای مدل به کل حوزه خلیج فارس اعمال شده است. اين اطلاعات از اجرای مدل WRF به دست آمده است (برای اطلاعات ييشتر ر.ک. قادر و همكاران (۱۳۹۵)).

جهت صحبت‌سنじ عملکرد مدل، به داده‌های اندازه‌گيری تراز سطح آب و سرعت جريان برای مقایسه با شبیه‌سازی در ايستگاه‌های مختلف خلیج فارس نياز

جدول ۲. مختصات کلی شبکه‌های محاسباتي

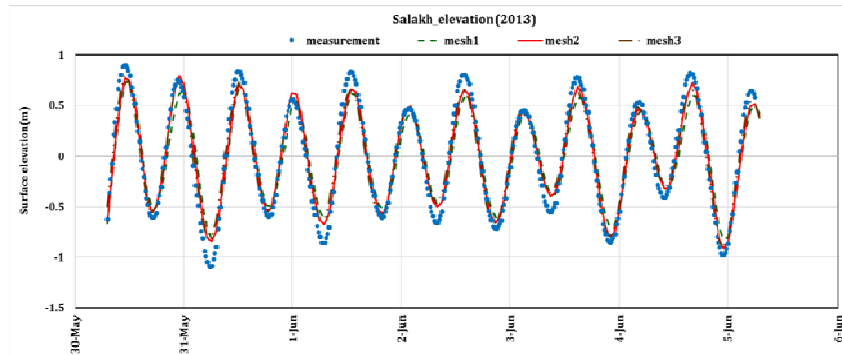
نام شبکه	تعداد گره	تعداد سلول	كمترین فاصله بين سلولی (m)	بيشترین فاصله بين سلولی (m)
شبکه ۱	۲۸۱۲	۵۲۰۵	۲۳۳۶	۱۴۵۸۳
شبکه ۲	۷۱۹۳	۱۳۶۳۹	۱۲۰۴	۸۶۱۱
شبکه ۳	۱۴۱۸۳	۲۷۳۹۶	۸۹۹	۴۱۸۹



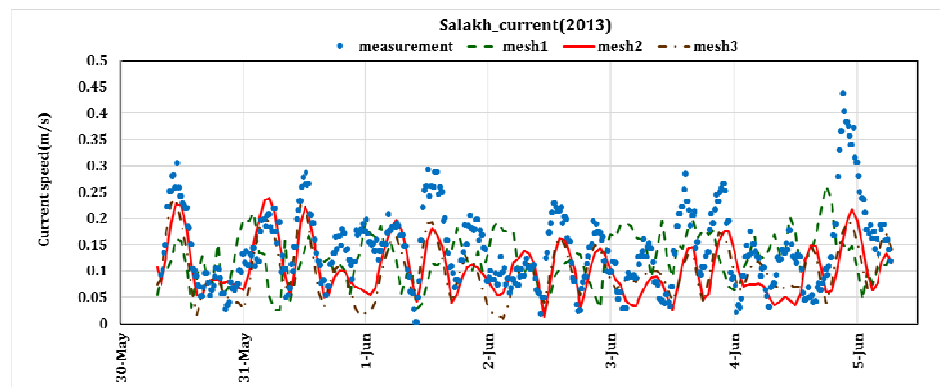
شکل ۳. نمایی از سه شبکه منتخب جهت واسنجی

مقایسه سرعت جریان، هم از مقایسه سرعت‌ها در عمق میانی، به نمایندگی از مقادیر میانگین سرعت در عمق و هم از مقایسه مقطع سرعت در عمق استفاده شده است تا در ک مناسب‌تری از عملکرد مدل حاصل آید.

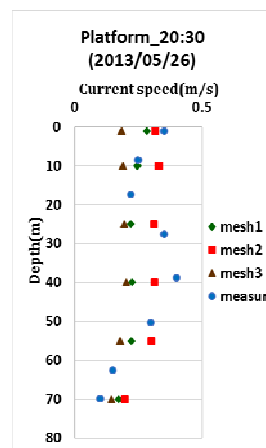
نتایج اجرای مدل برپاشده با شبکه‌های ۱، ۲ و ۳ با ضریب زیری 0.001 و هفت تراز سیگما در راستای قائم همراه با اعمال میدان باد سطحی به مدل در شکل‌های ۴ تا ۶ برای تراز سطح آب در ایستگاه سلخ و اندازه سرعت جریان در ایستگاه‌های سلخ و P1 ارائه شده است. برای



شکل ۴. مقایسه مقادیر تراز سطح آب حاصل از مدل و اندازه‌گیری‌ها در ایستگاه سلخ با ضریب زیری 0.001 و هفت تراز سیگما برای شبکه‌های مختلف.



شکل ۵. مقایسه مقادیر اندازه سرعت حاصل از مدل و اندازه‌گیری‌ها در ایستگاه سلخ برای لایه ۴ مدل با ضریب زیری $1/000$ و هفت تراز سیگما برای شبکه‌های مختلف.



شکل ۶. مقایسه مقطع اندازه سرعت حاصل از شبیه‌سازی و اندازه‌گیری‌ها در ایستگاه P1 با ضریب زیری $1/000$ و هفت تراز سیگما برای شبکه‌های مختلف

به مدل نشان می‌دهد. میزان همبستگی و خطای جذر میانگین مربعات هر دو ایستگاه، برای دو پارامتر تراز سطح آب و اندازه سرعت جریان ارائه شده است.

جدول ۳ پارامترهای آماری محاسبه شده برای نتایج اجرای شبکه‌های ۱، ۲ و ۳ را با ضریب زیری $1/001$ و تعداد تراز سیگماهای هفت همراه با اعمال میدان باد سطحی

جدول ۳. پارامترهای آماری دو ایستگاه سلخ و P1 اجرشده با ضریب زیری بستر $1/000$ و هفت تراز سیگما برای شبکه‌های مختلف (MEWE, 2014).

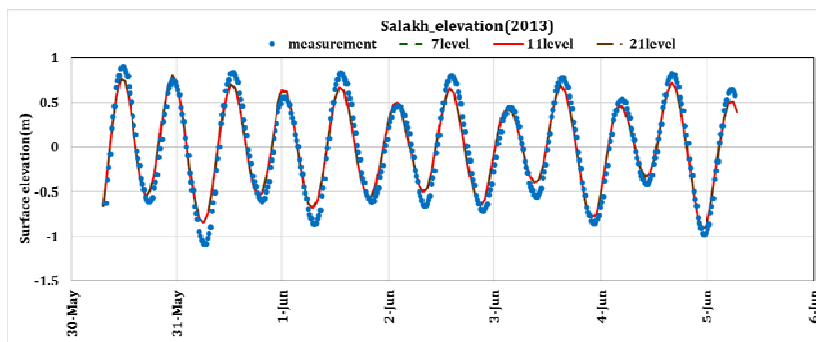
سرعت		تراز		شبکه محاسباتی	نام ایستگاه
RMSE	R	RMSE	R		
۰/۰۹	۰/۶۳	۰/۱۷	۰/۹۶	شبکه ۱	سلخ
۰/۰۸	۰/۷۱	۰/۱۱	۰/۹۸	شبکه ۲	
۰/۰۹	۰/۷۲	۰/۱	۰/۹۹	شبکه ۳	
۰/۱	۰/۶۲			شبکه ۱	سکو (P1)
۰/۰۷	۰/۸۳			شبکه ۲	
۰/۱۴	۰/۹۲			شبکه ۳	

قائم مفروض جهت شبیه‌سازی سه‌بعدی جریان، مدل با پیکربندی یکسان و تعداد ترازهای متفاوت برای خلیج فارس اجرا شده است. در این اجرایها از شبکه ۲ استفاده و زیری بستر، مقدار ثابت ۰/۰۰۱ فرض شده و میدان باد سطحی نیز به مدل اعمال شده است. در شکل‌های ۷ تا ۹ نتایج این شبیه‌سازی‌ها برای تراز سطح آب و اندازه سرعت جریان با یکدیگر مقایسه شده‌اند. این نتایج برای تعداد هفت، یازده و بیست‌ویک تراز سیگما نمایش داده شده است تا میزان حساسیت مدل به این پارامتر بررسی شود.

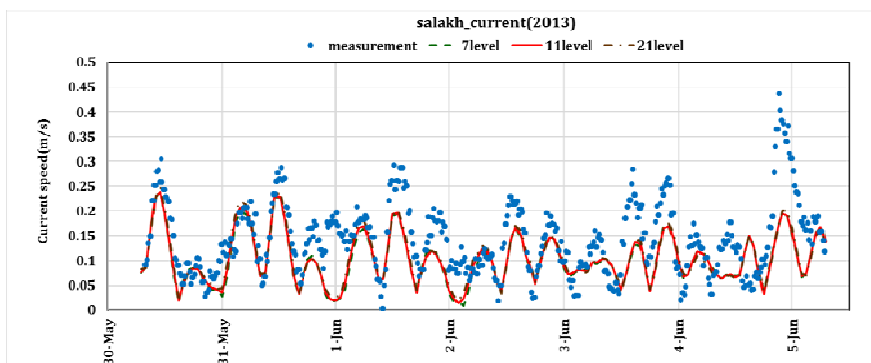
با توجه به شکل‌های ۴ تا ۶ و مقادیر پارامترهای آماری در جدول ۳، می‌توان نتیجه گرفت که نتایج شبکه ۳ کمی بهتر از شبکه ۲ و البته خیلی بهتر از شبکه ۱ است. هر دو شبکه ۱ و ۲ نتایجی خوب و نزدیک به هم برای تراز سطح آب و اندازه سرعت جریان دارند و مقادیر خطاب رای شبکه‌های ۱ و ۲ تفاوت چندانی ندارند؛ بنابراین، در راستای بهینه کردن هزینه محاسباتی، شبکه ۲ برای شبیه‌سازی برگزیده شده است.

۲-۳ تعداد ترازهای سیگما

برای حساسیت‌سنجی رفتار مدل نسبت به تعداد ترازهای



شکل ۷ مقایسه مقادیر تراز سطح آب حاصل از مدل و اندازه‌گیری‌ها در ایستگاه سلخ در شبکه ۲ با ضریب زیری ۰/۰۰۱ برای تعداد ترازهای مختلف.



شکل ۸ مقایسه مقادیر اندازه سرعت جریان حاصل از مدل و اندازه‌گیری‌ها در ایستگاه سلخ برای لایه ۵ مدل در شبکه ۲ با ضریب زیری ۰/۰۰۱ برای تعداد ترازهای مختلف.

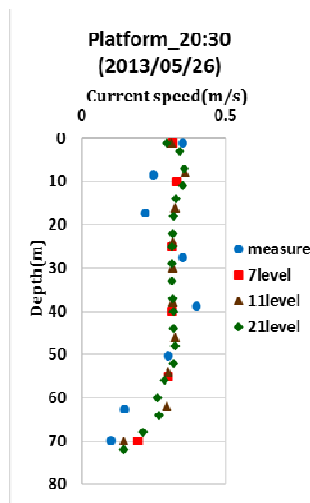
جدول ۴. پارامترهای آماری دو ایستگاه سلخ و P1 اجراشده با شبکه ۲ و ضریب زیری بستر ۰/۰۰۱ برای تعداد ترازهای مختلف

سرعت		تراز		تراز سیگما	نام ایستگاه
RMSE	R	RMSE	R		
۰/۰۸	۰/۷۱	۰/۱۱	۰/۹۸	۷ تراز	سلخ
۰/۰۸	۰/۷۱	۰/۱۱	۰/۹۸	۱۱ تراز	
۰/۰۸	۰/۷۱	۰/۱۱	۰/۹۸	۲۱ تراز	
۰/۱۷	۰/۸۴			۷ تراز	(P1) سکو
۰/۱۷	۰/۹۰			۱۱ تراز	
۰/۱۶	۰/۶۹			۲۱ تراز	

۳-۳ ضریب زیری بستر

پارامتر دیگري که حساسيت مدل به تغييرات آن بررسی شده است، ثابت زيری بستر است. بهاين منظور، با درنظر گرفتن هفت تراز سیگما در شبکه ۲ همراه با اعمال ميدان باد سطحي و ثابت‌های زيری بستر متفاوت، مدل به اجرا گذاشته شده است. با توجه به آنكه محدوده ضریب زيری بستر در مدل FVCOM از ۰/۰۳۵ تا ۰/۰۰۱ است (چن و همكاران، ۲۰۱۳)، در اجرای اول از ثابت ۰/۰۰۱ و در اجرای دوم از ثابت ۰/۰۱۸ استفاده شده است. ثابت زيری بستر در اجرای سوم نيز ۰/۰۳۵ فرض شده است. نتایج اين اجراهای در شکل‌های ۱۰ تا ۱۲ نشان داده شده و پارامترهای آماری اين اجراهای در جدول ۵ ارائه شده است.

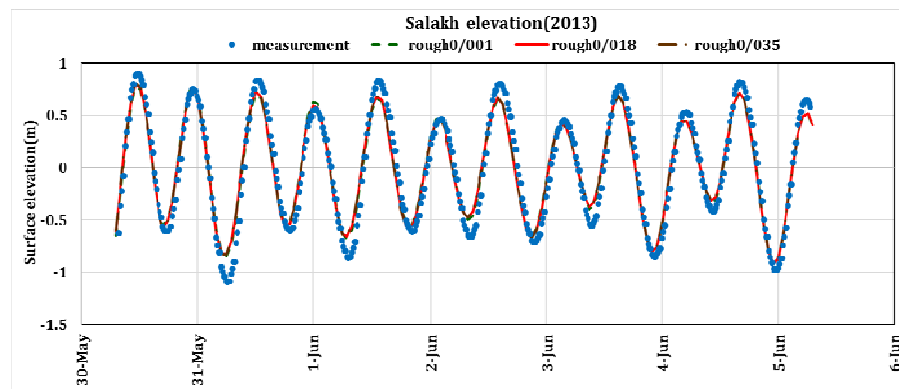
جدول مقادير پارامترهای آماری محاسبه شده برای اجرای مدل را با ضرایب زيری ۰/۰۰۱، ۰/۰۱۸، ۰/۰۳۵ در شبکه ۲ و با هفت تراز سیگما در راستاي قائم نمايش می‌دهد. از جدول پيدا است که پارامتر تراز سطح آب برای ایستگاه سلخ در تمامي ضرایب زيری بستر، همبستگي خوبی دارد و مقدار خطای جذر ميانگين مربعات کم است. همچنين، پارامتر اندازه سرعت جريان برای ایستگاه سلخ در ضریب زيری ۰/۰۰۱ همبستگي بهتری نسبت به ضرایب زيری بيشتر دارد. اين پارامتر برای ایستگاه P1 که در آب عميق واقع شده است، در ضریب زيری بستر ۰/۰۰۱ همبستگي خوبی ندارد و در ضریب زيری بستر ۰/۰۱۸ بهتر است، اما در ضریب زيری بستر ۰/۰۳۵ همبستگي بسيار خوبی برای اندازه سرعت جريان در آب عميق مشاهده می‌شود



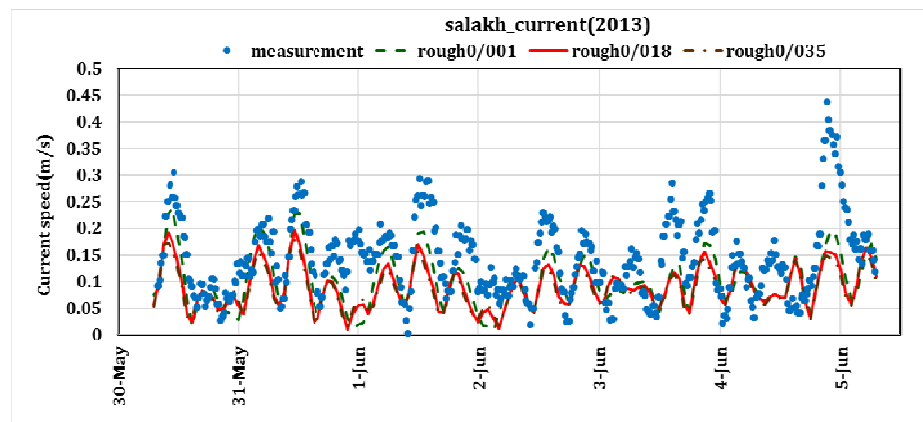
شکل ۹. مقایسه مقطع اندازه سرعت حاصل از شبیه‌سازی و اندازه‌گیری‌ها در ایستگاه P1 در شبکه ۲ با ضریب زيری ۰/۰۰۱ برای تعداد ترازهای مختلف.

جدول ۴ مقادير پارامترهای آماری محاسبه شده برای تراز سطح آب و اندازه سرعت جريان را در مقایسه با مقادير مشاهداتي برای ایستگاه‌های سلخ و P1 ارائه می‌دهد.

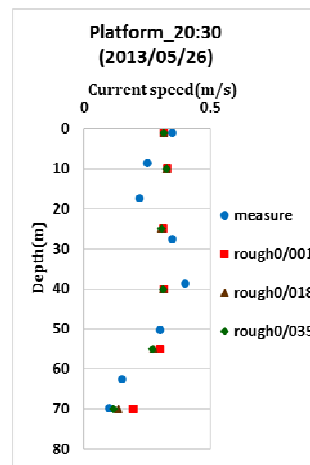
با توجه به شکل‌های ۷ تا ۹ و پارامترهای آماری در جدول ۴ مشخص می‌شود که نتایج به کارگيري يازده تراز سیگما بهتر از هفت تراز سیگما و بهتر از بیست و یك تراز سیگما است. نتایج ایستگاه P1 که در آب عميق قرار دارد، حائز اهميت است؛ درنتيجه، حاصل اين بخش از واسنجي‌ها برای دريافت خروجي‌های بهتر جهت شبیه سازي سه‌بعدی، استفاده از يازده تراز سیگما در راستاي قائم است.



شکل ۱۰. مقایسه مقادیر تراز سطح آب حاصل از مدل و اندازه‌گیری‌ها در ایستگاه سلخ در شبکه ۲ با هفت تراز سیگما برای ضرایب زیری متفاوت



شکل ۱۱. مقایسه مقادیر اندازه سرعت جریان حاصل از مدل و اندازه‌گیری‌ها در ایستگاه سلخ برای لایه ۵ مدل در شبکه ۲ با هفت تراز سیگما برای ضرایب زیری متفاوت



شکل ۱۲. مقایسه مقطع اندازه سرعت جریان حاصل از شبیه‌سازی و اندازه‌گیری‌ها در ایستگاه P1 در شبکه ۲ با هفت تراز سیگما برای ضرایب زیری متفاوت

جدول ۵. پارامترهای آماری دو ایستگاه سلخ و P1 اجرا شده با شبکه ۲ و هفت تراز سیگما برای ضربی زیری بستر متفاوت.

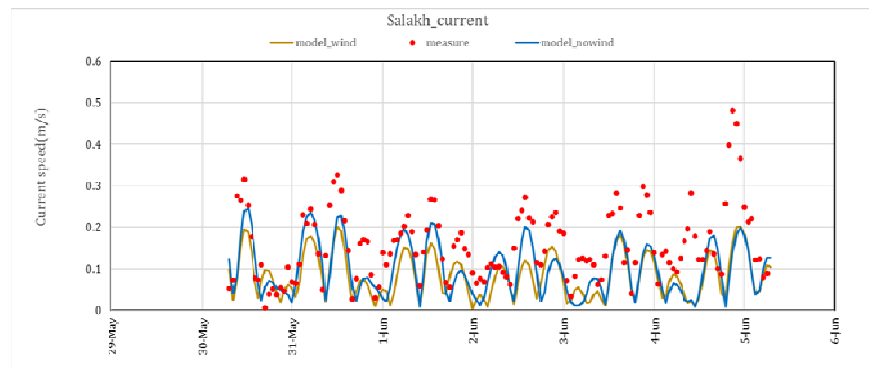
سرعت		تراز		ضریب زیری بستر	نام ایستگاه
RM SE	R	RM SE	R		
۰/۱	۰/۷۱	۰/۱۱	۰/۹۸	زیری ۰/۰۰۱	سلخ
۰/۱۱	۰/۵۸	۰/۱	۰/۹۹	زیری ۰/۰۱۸	
۰/۱۱	۰/۴۷	۰/۱	۰/۹۹	زیری ۰/۰۳۵	
۰/۱۱	۰/۳۴			زیری ۰/۰۰۱	سکو
۰/۱۱	۰/۶۲			زیری ۰/۰۱۸	
۰/۱۱	۰/۷۳			زیری ۰/۰۳۵	

مدل اعمال شده است و نتایج بر تأثیر مثبت آن دلالت داشته است؛ درنتیجه، شبیه‌سازی‌ها برای ایستگاه سلخ و P1 در سال ۲۰۱۳ و ناییند در سال ۲۰۰۹ با اعمال میدان باد سطحی به مدل در بازه مورد نظر اجرا شدند.

در شکل ۱۲، برای نمونه، نمودار مقادیر اندازه سرعت جریان حاصل از شبیه‌سازی با اعمال میدان باد سطحی و بدون اعمال آن در مقایسه با اندازه‌گیری‌ها در ایستگاه سلخ ارائه شده است. همان‌طور که از نمودارها پیداست، باد تأثیر مثبت بر بهبود نتایج شبیه‌سازی داشته است.

از شکل‌های ۱۰ تا ۱۲ و پارامترهای آماری جدول ۵ این نتیجه برداشت می‌شود که مناسب‌ترین ضربی زیری بستر برای شبیه‌سازی سه‌بعدی جریان‌های خلیج فارس در آب کم‌عمق، ۰/۰۰۱ و در آب عمیق، ۰/۰۳۵ است.

۴-۳ اثر باد
در این پژوهش، علاوه‌بر اعمال واداشت جزرومدی به مدل، میدان باد سطحی نیز به عنوان یک واداشت مؤثر به



شکل ۱۳. مقایسه اندازه‌گیری‌ها و مقادیر اندازه سرعت جریان حاصل از شبیه‌سازی با اعمال واداشت باد و بدون اعمال واداشت باد در ایستگاه سلخ.

جدول ۶. پارامترهای آماری برای اندازه سرعت جریان با و بدون اعمال واداشت باد در ایستگاه سلخ.

سرعت (بدون باد)		سرعت (با باد)		نام ایستگاه
RMSE	R	RMSE	R	
۰/۱	۰/۵۸	۰/۰۹	۰/۶۷	سلخ

پیش‌فرض اجرا می‌شود. مدل تحت تأثیر دو واداشت جزرومده و باد اجرا شده است. بازه‌های اجرای مدل در جدول ۷ ارائه شده است. همچنین، با توجه به واسنجی‌های انجام‌شده در بخش قبل، شبکه ۲ با یازده تراز سیگما و ضریب زبری بستر ۰/۰۰۱ برای اجراهای مناسب آب کم عمق و ۰/۰۳۵ اجراهای مناسب آب عمیق جهت اجرای مدل انتخاب شده است.

جدول ۷. بازه‌های اجرای مدل.

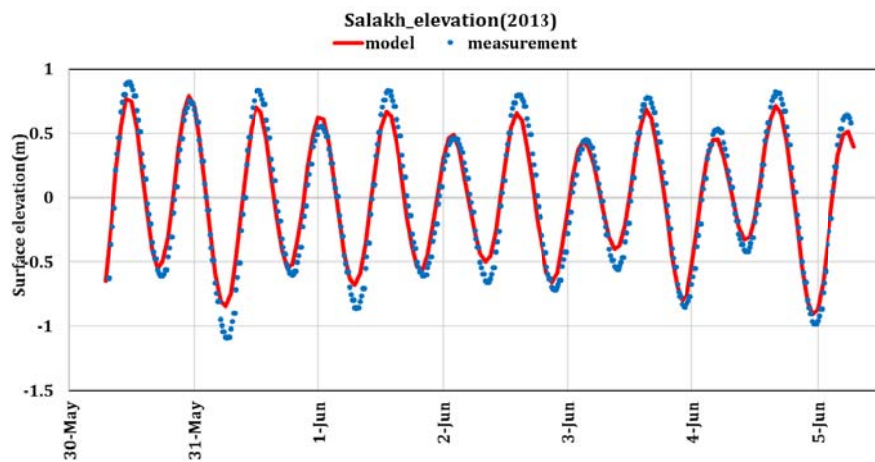
پایان	شروع	سال
۰/۱۵ ۰۰:۰۰	۰/۰۱ ۰۰:۰۰	۲۰۱۳
۰/۱۴ ۰۰:۰۰	۰/۰۱ ۰۰:۰۰	۲۰۰۹

در ادامه، به بررسی نتایج شیوه‌سازی سه‌بعدی جریان با اجرا در حالت انتخاب شده در فرایند حساسیت‌سنجدی مدل پرداخته شده است. در شکل‌های ۱۴ تا ۱۹ نتایج شیوه‌سازی مدل با داده‌های میدانی موجود برای تراز سطح آب و اندازه سرعت جریان در ایستگاه‌های اندازه‌گیری مقایسه شده است. چنانچه از این نتایج بر می‌آید، شیوه‌سازی سه‌بعدی اجراسده با مدل FVCOM و با احتساب ضریب زبری بستر ۰/۰۳۵ به نتایج بهتری برای محدوده آب عمیق و اندازه‌گیری‌های موجود در آن ناحیه منجر می‌شود، در حالی که اجراهای انجام‌شده با ضریب ۰/۰۰۱ نتایج بهتری در مناطق آب کم عمق دارند. یازده تراز سیگما در راستای قائم در شبکه ۲ به همراه میدان باد سطحی در پهنه خلیج فارس برای همه اجراهای به مدل اعمال شده است. نتایج از دقت خوبی برخوردارند و در کل، عملکرد خوبی ارائه شده است.

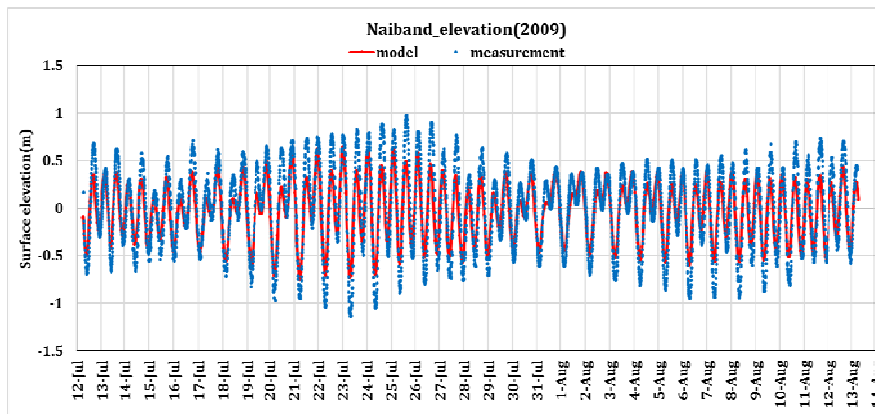
در جدول ۶ پارامترهای آماری مربوط به اندازه سرعت جریان با و بدون اعمال میدان باد سطحی آورده شده است و پیداست که باد، تأثیر مثبت چشمگیری بر بهبود نتایج داشته است.

۴ نتایج اجراهای نهایی

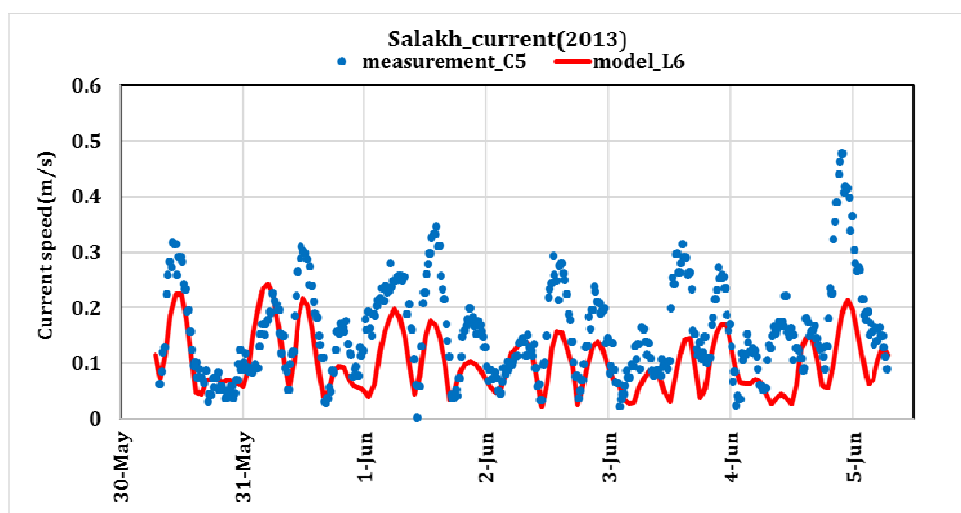
پس از انجام حساسیت‌سنجدی‌های مشروط در بخش پیشین، برپایش بهینه برای اجرای نهایی انتخاب می‌شود. برای شبکه محاسباتی در سطح افقی از شبکه‌بندی مثلثی و در راستای قائم از یازده تراز سیگما استفاده شده است. شبکه محاسباتی مورد استفاده همان شبکه ۲ است که طی فرایند حساسیت‌سنجدی انتخاب شده است. در این شبکه، کمترین فاصله سلولی ۱۲۰۴ متر و بیشترین آن ۸۶۱۱ متر است. شبکه‌بندی در پلان شامل ۷۱۹۳ گره و ۱۳۶۳۹ سلول است. کمترین و بیشترین زاویه سلول‌ها برابر ۳۰ و ۱۲۰ درجه فرض شده است. گفتنی است بیشترین تعداد سلول متصل به یک گره، زیر ۸ عدد تنظیم شده است. سرعت‌های اولیه در دامنه محاسباتی برابر صفر است و اجرای مدل با شرایط اولیه سکون یا همان Cold Start آغاز شده است. از آنجایی که جریانات چگال در مقایسه با جریانات جزرومده در این منطقه بزرگ‌گای کمتری دارند، فرضیات فوق خطای زیادی در محاسبات وارد نخواهد کرد و مدل با توجه به سرعت زیاد جزرومده در محل، به مقادیر واقعی سرعت تزدیک می‌شود. برای اجراهای حالت هیدرولوستاتیک مدل استفاده شده است و از اثرهای امواج بر جریان صرف نظر شده است. فرض بر این است که منطقه مورد مطالعه، فشارورده است و مدل با این



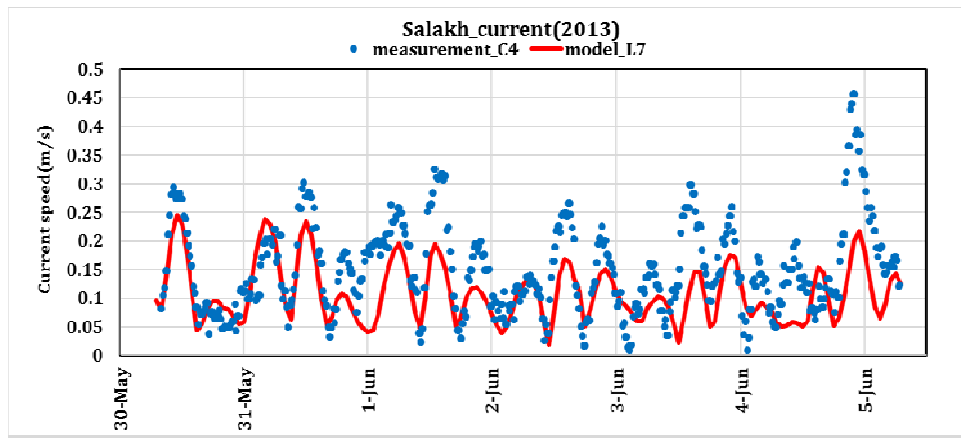
شكل ۱۴. مقایسه مقادیر تراز سطح آب حاصل از مدل و اندازه‌گیری‌ها در ایستگاه سلخ در شبکه ۲ با یازده تراز سیگما و ضریب زبری ۰/۰۰۱



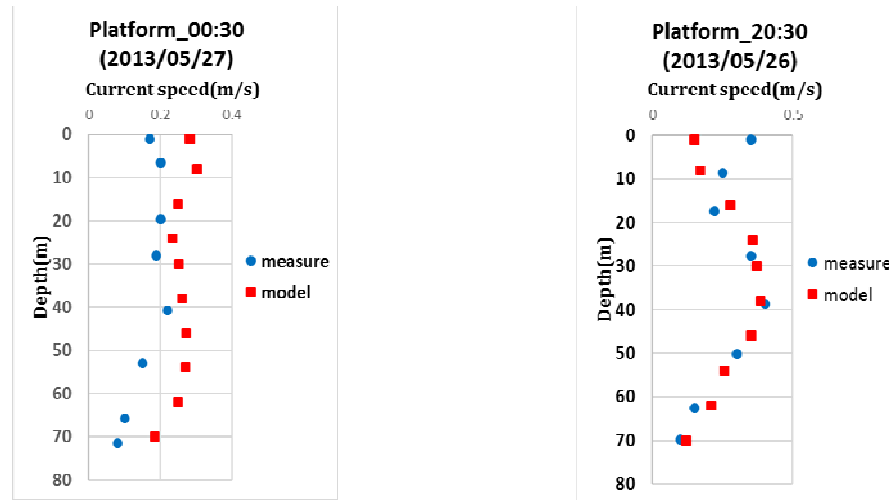
شكل ۱۵. مقایسه مقادیر تراز سطح آب حاصل از مدل و اندازه‌گیری‌ها در ایستگاه ناییند در شبکه ۲ با یازده تراز سیگما و ضریب زبری ۰/۰۰۱



شكل ۱۶. مقایسه مقادیر سرعت جريان حاصل از مدل و اندازه‌گیری‌ها در ایستگاه سلخ برای لایه ۶ مدل در شبکه ۲ با یازده تراز سیگما و ضریب زبری ۰/۰۰۱



شکل ۱۷. مقایسه مقادیر سرعت جریان حاصل از مدل و اندازه‌گیری‌ها در ایستگاه سلخ برای لایه ۷ مدل در شبکه ۲ با یازده تراز سیگما و ضرب زبری 10^{-4}



شکل ۱۹. مقایسه مقطع سرعت جریان حاصل از شبیه‌سازی و اندازه‌گیری‌ها در ایستگاه P1 در شبکه ۲ با یازده تراز سیگما و ضرب زبری 10^{-4}
شکل ۱۸. مقایسه مقطع سرعت جریان حاصل از شبیه‌سازی و اندازه‌گیری‌ها در ایستگاه P1 در شبکه ۲ با یازده تراز سیگما و ضرب زبری 10^{-4}

برای راهاندازی سامانه مذکور، از مدل سه‌بعدی احجام محدود FVCOM استفاده شده است که یک مدل متن باز است و امکان استفاده از لایه‌بندی سیگما در راستای قائم وجود دارد. در روند برپایی سامانه محاسباتی، ابتدا سه شبکه محاسباتی با مشخصات متفاوت مدنظر قرار گرفته است و طی روند واسنجی، شبکه بهینه انتخاب و سایر پارامترها از قبیل تعداد لایه‌های سیگما و مقادیر بهینه ضرب زبری بستر تعیین شده است. درنهایت، برای بازه‌هایی که داده اندازه‌گیری در آب کم عمق و عمیق وجود

۵ جمع‌بندی و نتیجه‌گیری

هدف از مطالعه حاضر، راهاندازی یک سامانه محاسباتی برای شبیه‌سازی سه‌بعدی جریان‌های دریایی در محدوده خلیج فارس است به گونه‌ای که صحت عملکرد آن در کلیه مناطق ساحلی و فراساحلی قابل اعتماد باشد. اهمیت خلیج فارس به عنوان یک پهنه استراتژیک آبی که فعالیت‌های توسعه‌ای و ناوگرانی در جای جای آن در جریان است و تنها به نواحی نزدیک ساحل محدود نمی‌شود، لزوم این مطالعه را دوچندان هویدا می‌سازد. در این راستا

منابع

- حاج رسوليها، ا.، حسن زاده، ا.، رضائي لطيفي، ع.، ۱۳۹۵، نقش فرايندهای فيزيکي بر نحوه توزيع آلانيدهای نفتی در خليج فارس: پژوهش‌های اقلیم‌شناسی، ۱۵، ۹۳-۱۰۶.
- شرکت مهندسين مشاور آب و محیط خاورمیانه، ۱۳۹۲، مطالعات اندازه‌گيری ميداني حد فاصل جزایر کيش و قشم.
- قادر، س.، يازجي، د.، سلطانپور، م.، نعمتي، م. ح.، ۱۳۹۵، به کار گيری يك سامانه همادي توسعه داده شده برای مدل WRF جهت پيش‌بیني ميدان باد سطحي در محدوده خليج فارس: مجله هيدروفيزيک، ۱، ۴۱-۵۴.
- Alosairi, Y., Imberger, J., and Falconer, R. A., 2011, Mixing and flushing in the Persian Gulf (Arabian Gulf): Journal of Geophysical Research: Oceans, 116(C3).
- Azizpour, J., Chegini, V., Khosravi, M., and Einali, A., 2014, Study of the physical oceanographic properties of the Persian Gulf, strait of Hormuz and gulf of Oman based on PG-GOOS CTD measurements: Journal of the Persian Gulf, 5(18), 37-48.
- Baird and JWERC, 2009, Final Report: Tidal model of the Persian Gulf. monitoring and modeling studies of Iranian coastline, phases II and III, Port and Maritime Organization (PMO).
- Chen, C., Beardsley, R. C., Cowles, G., Qi, J., Lai, Z., Gao, G., Stuebe, D., Xu, Q., Xue, P., Ge, J., and Ji, R., 2013, An unstructured grid, finite-volume community ocean model FVCOM user manual: Department of Fisheries Oceanography, SMAST.
- ETOPO2v2, 2006. doi: 10.7289/V5J1012Q.
- Ezam, M., Bidokhti, A. A., and Javid, A. H., 2010, Numerical simulations of spreading of the Persian Gulf outflow into the Oman Sea: Ocean Science, 6(4), 887.
- Hagen, S. C., Zundel, A. K., and Kojima, S., 2006, Automatic, unstructured mesh generation for tidal calculations in a large domain: International Journal of Computational Fluid Dynamics, 20(8), 593-608.
- Haghshenas, S. A., Razavi Arab, A., Bakhtiari, A., Jedari Attari, M., Risk, M. J., 2016,

داشته است، اجرای نهايی انجام و صحت عملکرد مدل ارزیابی شده است. اجراهای مدل تحت دو واداشت اصلی جزر و مدار و باد انجام شده است و عملکرد مدل در مقایسه با داده‌های اندازه‌گيری، خوب ارزیابی می‌شود. موارد زیر هم دستاوردهای اين مطالعه را توصيف می‌کند:

- ❖ با توجه به نمودارهای ارائه شده که مقایسه اين دو پارامتر را برای ايستگاه‌های اندازه‌گيری ميداني در خليج فارس نشان می‌دهد، شبیه‌سازی سه‌بعدی جريان با مدل FVCOM در خليج فارس برای اندازه سرعت جريان و تراز سطح آب، نتایج خوبی ارائه داده است و پارامترهای آماری ارائه شده، همخوانی نسی خوب نتایج شبیه‌سازی با اندازه‌گيری‌های ميداني را نشان می‌دهد؛
- ❖ در اين پژوهش علاوه‌بر اعمال واداشت جزو-مدی به مدل که بيشترین تأثير را بر جريان‌های خليج فارس دارد، باد نيز به عنوان دومين پارامتر مؤثر به مدل اعمال شده و تأثير مثبتی در بهبود نتایج داشته است؛ در نتيجه، تمامی شبیه‌سازی‌ها با اعمال ميدان باد سطحي در بازه موردنظر اجرا شده‌اند و نتایج آن نسبت به نتایج مدل در حالت جزرومدی بهبود يافته است؛
- ❖ نتیجه مهم دیگر اين مطالعه آن است که برای دست یافتن به نتایج با دقت زياد، ضرائب زبری مختلفی باید در سرتاسر مدل به کار گرفته شود؛ بهترین نتایج با فرض مقدار ۰/۰۰۱ برای نواحی کم عمق و مقدار ۰/۰۳۵ برای نواحی عميق به دست آمده است.

سپاسگزاری

نويسندگان برآنند تا درخصوص تأمین و تحليل داده‌های اندازه‌گيری از همكاری خانم آزاده رضوي و آقایان آرش بختيارى، همایون ذاکر و محسن سلطانپور كمال تشکر را به عمل آورند. همچنين از اداره مهندسي سواحل و بنادر سازمان بنادر و دریانوردی جهت در اختيار قرار دادن محدود برخی داده‌های اندازه‌گيری سپاسگزاری می‌شود.

- Decadal evolution of Mond River Delta, the Persian Gulf, in Vila-Concejo, A., Bruce, E., Kennedy, D. M., and McCarroll, R. J., eds., Proceedings of the 14th International Coastal Symposium (Sydney, Australia): Journal of Coastal Research, Special Issue, 75, 805-809, Coconut Creek (Florida), ISSN 0749-0208.
- Kämpf, J., and Sadrinasab, M., 2006, The circulation of the Persian Gulf: a numerical study: Ocean Science, 2(1), 27-41.
- Memari, S., Siadatmousavi, M. S., 2018, Numerical modeling of heat and Brine discharge near Qeshm Desalination Plant: International Journal of Coastal and Offshore Engineering, 2(1), 27-35.
- MEWE, 2014, Current modelling report, Frooz-B field development, 40 p.
- Mortazavi, M. S., Hamzei, S., Motallebi, A. A., Kim, H. G., Reguera, B., Hallegraeff, G. M., Lee, C. K., Han, M. S., and Choi, J. K., 2012, Preliminary studies on HAB monitoring in the Persian Gulf and Oman Sea using remote sensing data from ocean color sensor MODIS: Harmful Algae, 71-73.
- Reynolds, R. M., 1993, Physical oceanography of the Gulf, Strait of Hormuz, and the Gulf of Oman—Results from the Mt Mitchell expedition: Marine Pollution Bulletin, 27, 35-59.
- Swift, S. A., and Bower, A. S., 2003, Formation and circulation of dense water in the Persian/Arabian Gulf: Journal of Geophysical Research: Oceans, 108(C1).
- UMASSD Technical Report-13-0701, University of Massachusetts-Dartmouth.
- Vic, C., Roullet, G., Capet, X., Carton, X., Molemaker, M. J., and Gula, J., 2015, Eddy-topography interactions and the fate of the Persian Gulf Outflow: Journal of Geophysical Research: Oceans, 120(10), 6700-6717.
- Yao, F., and Johns, W. E., 2010, A HYCOM modeling study of the Persian Gulf: 1. Model configurations and surface circulation: Journal of Geophysical Research: Oceans, 115(C11).

3D Numerical Modelling of Shallow and Deep Water Currents in the Persian Gulf

Shokufeh Razzaghi¹, Seyyed Abbas Haghshenas², Sarmad Ghader^{3*}, Daniel Yazgi⁴, Edris Delkhosh¹, Aref Farhangmehr⁵

¹*M.Sc. Graduated, Department of Space Physics, Institute of Geophysics, University of Tehran, Iran*

²*Assistant Professor, Department of Space Physics, Institute of Geophysics, University of Tehran, Iran*

³*Associate Professor, Department of Space Physics, Institute of Geophysics, University of Tehran, Iran*

⁴*Ph.D. Graduated, Department of Space Physics, Institute of Geophysics, University of Tehran, Iran*

⁵*M.Sc., Researcher at Persian Oceans Research Co., Tehran, Iran*

(Received: 03 June 2019, Accepted: 16 November 2019)

Summary

A 3D current and water level forecasting system is developed for the whole Persian Gulf in this study, in order to offer a reasonable response for the needs to provide a better understanding of coastal and gulf-scale hydrodynamic processes in this important body of water. There are a couple of research attempts published during the past decades on the hydrodynamics and circulation of the Persian Gulf; however, most of them were concentrated on the coastal and relatively shallow water areas and presented reasonable results. Hence, this study aims to improve model performance in deep water areas while the accuracy of tidal and wind-driven current parameters in shallow water results is acceptable. The most important driving forces, including tides and surface winds, are taken into consideration in simulations, in order to provide relatively accurate estimations of hydrodynamic parameters in the Persian Gulf.

For water level and current three-dimensional simulations, FVCOM numerical open-source model is applied and run for some time periods in which field observations are available for both current specifications and water levels in the Persian Gulf. The open boundary data are adopted from OTPS global model and the input wind field data are applied from WRF wind modeling over the whole body of water. The model results were calibrated for a number of parameters selected in an extensive sensitivity analysis program and optimum values are selected for the under-study parameters. A comprehensive set of field measurements is collected, whose main objective is to provide sufficient and reliable input data for current simulations in the Persian Gulf in both deep and shallow areas. The collected survey parameters are mainly focused on: vertical profiling of current speed and direction; mid-depth current speed and direction measurements; tidal (water level) measurements; and wind measurements. The data covers a wide range of spatial distribution in the Persian Gulf, including near-shore and offshore areas as well as a wide range of water depth values.

In this study, the obtained water level and current model results are verified against collected field observations, both in shallow and deep water areas and near-shore and offshore regions. Consequently, the optimum settings for obtaining accurate model results in both shallow and deep water areas are reported. The results of this research are of great help to understand the hydrodynamics of the Persian Gulf and provide a basis for more accurate estimations of forecasted current and water level parameters over the study area.

Keywords: Persian Gulf, water levels and currents, 3D hydrodynamic simulations, FVCOM model, deep water currents

*Corresponding author:

sghader@ut.ac.ir